はやぶさ2小型搭載型衝突装置と分離カメラによるサイエンス

荒川政彦1, 佐伯孝尚2, 澤田弘崇2, 門野敏彦3, 高木靖彦4, 和田浩二5, 小川和律6, 本田理恵7, 白井慶2, 石橋高5, 早川雅彦², 坂谷尚哉², 平田成², 岡本千里², 今村裕志², 矢野創², 小林正規5, 中澤暁², 飯島祐一², 早川基²

Small Carry-on Impactor Elucidates the Nature of Craters and the Solar System Evolution

¹神戸大学, ²JAXA, ³産業医科大, ⁴愛知東邦学園大, ⁵千葉工大, ⁶東京大, ⁷高知大, ⁸会津大

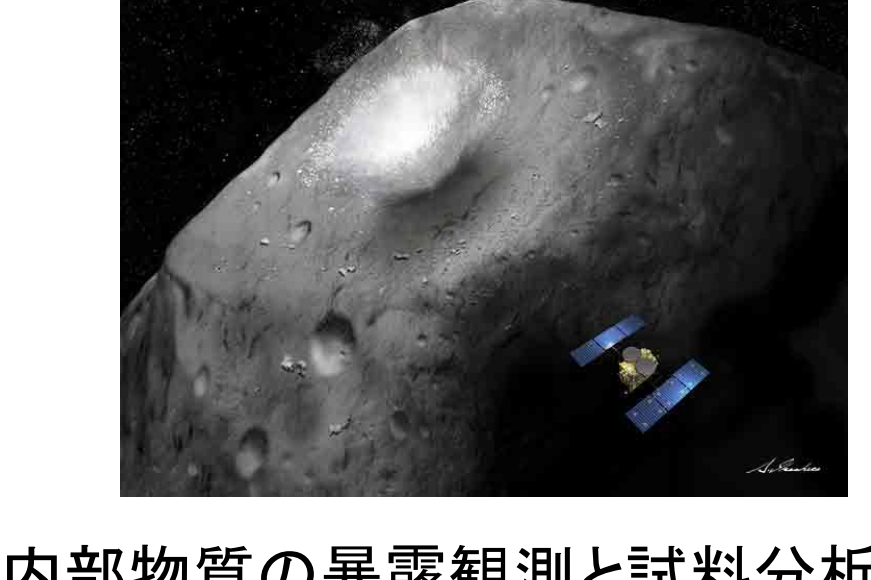
はやぶさ2搭載の小型搭載型衝突装置(Small Carry-on Impactor:SCI)は, 探査目標天体であるC型小惑星1999JU3に対して2kgの銅製ライナ(弾 丸)を2km/sで衝突させる装置である.この小惑星における世界初の人 工衝突によって、天体内部を暴露しそのサンプル回収を目論むとともに、 衝突イジェクタや形成されるクレーターそのものを観測することで太陽系 進化の鍵である天体衝突現象の理解が進むものと期待される.

本発表では、神岡で実施された実スケールのSCI衝突試験(実爆試験) とその解析速報を報告するとともに、SCI衝突のその場観測によるサイエ ンスを達成するための観測装置である分離カメラ(Deployable Camera 3: DCAM3)のデジタル光学系の開発・試験状況を報告する.

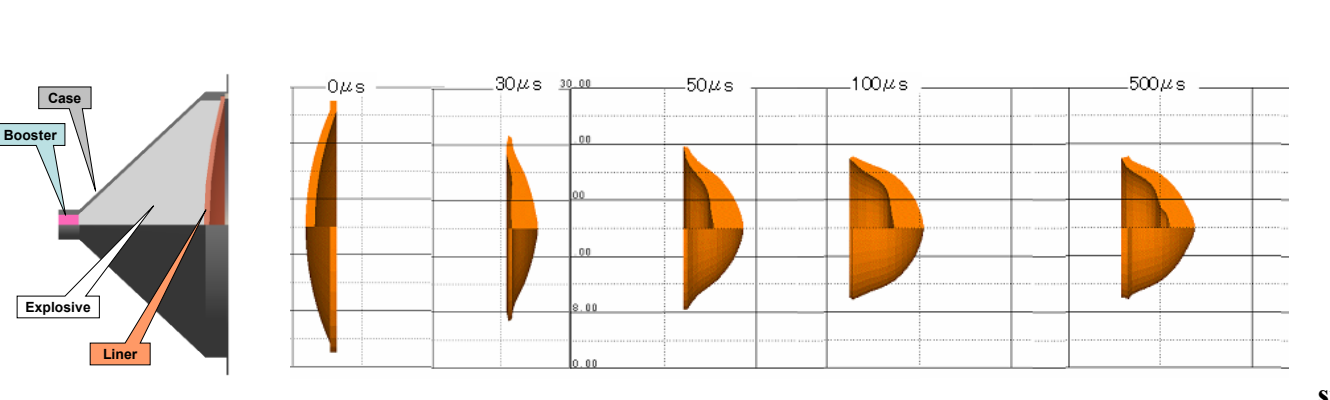
SCIサイエンス目標とDCAM3その場観測の貢献

・弾丸の衝突条件の明確化(SCI爆破位置と衝突地点の同定)

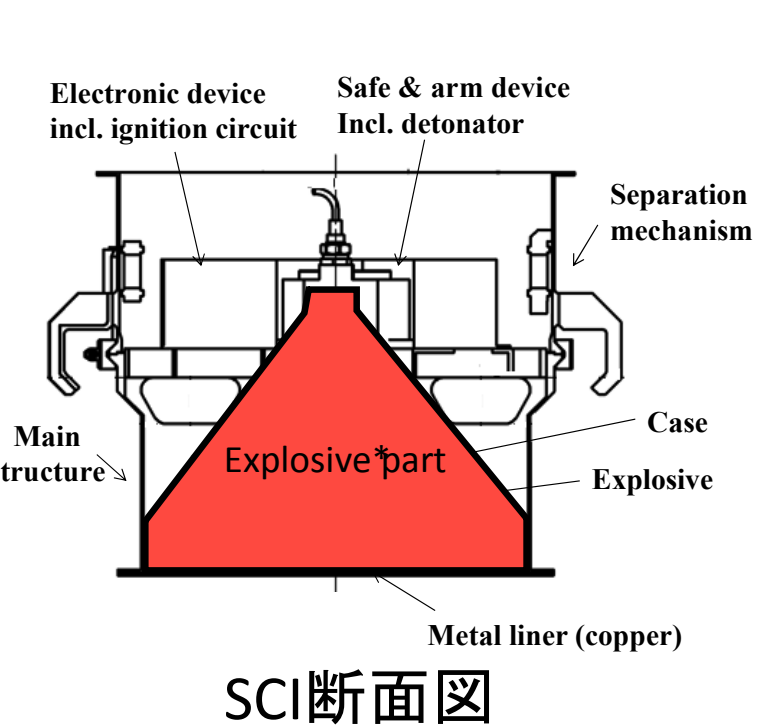
- •標的状態の明確化&1999JU3の表層構造推定(イジェクタ放出状況の観測)
- •イジェクタスケーリング則の検証と改訂
- •クレーター径スケーリング則の検証と改訂
- ・岩塊衝突だった場合の破片分布, Q*の推定
- •1999JU3に刻まれた衝突痕の読み解き
 - •クレーター年代学の構築
 - •衝突を含めた表層更新過程の理解
- •宇宙風化の影響やNEAとなってからの熱変成の影響が少ないと思われる小惑星内部物質の暴露観測と試料分析
- ・小惑星物質への衝突の影響(衝撃変成、レゴリス撹拌混合)の解明

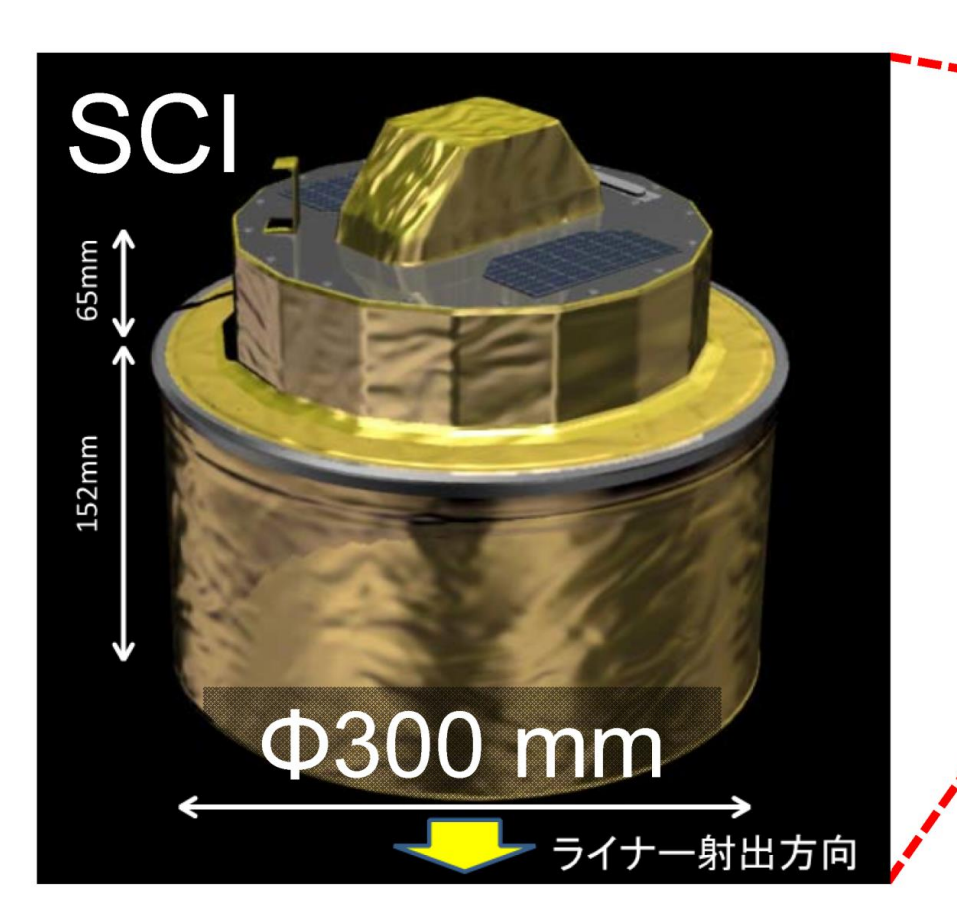


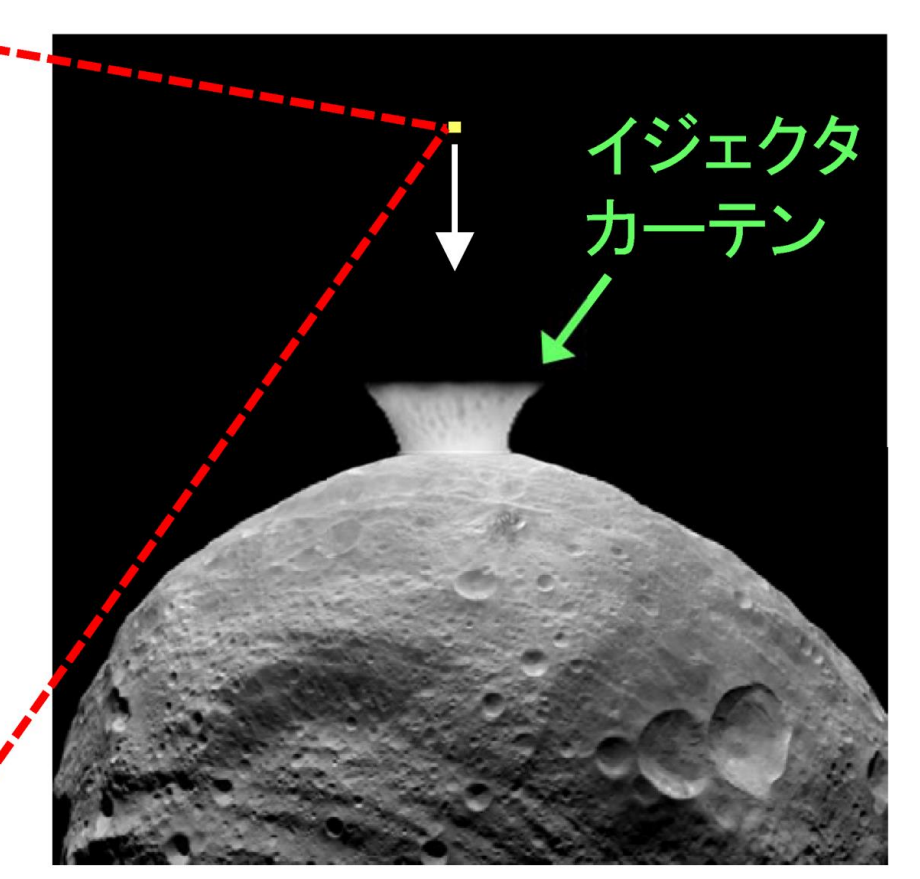
DCAM3その場観測

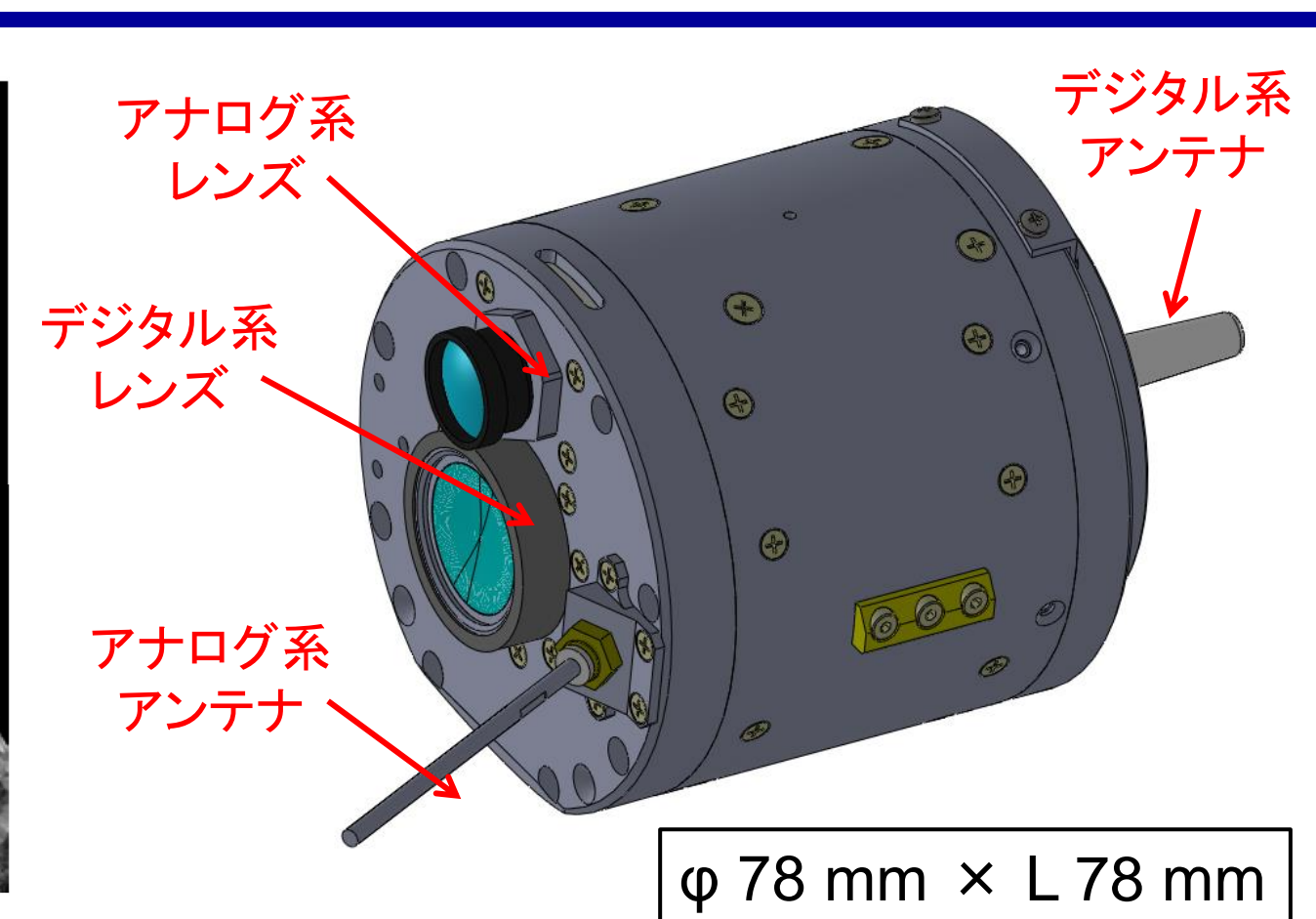


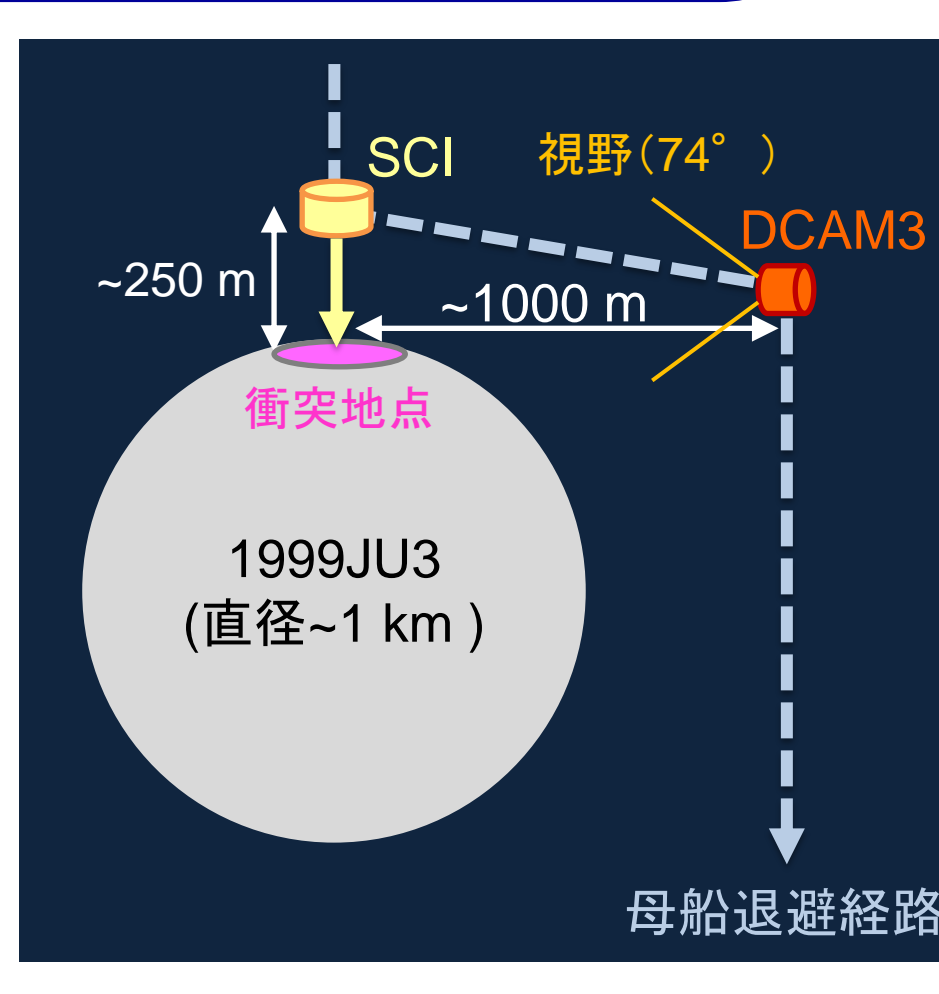
SCIの爆発による銅ライナの飛翔と成形過程 のスナップショット(シミュレーション). 直径 30cmの円盤状銅ライナ(2kg)が直径約15cmの (半)球殻状弾丸となって2km/sに加速される.





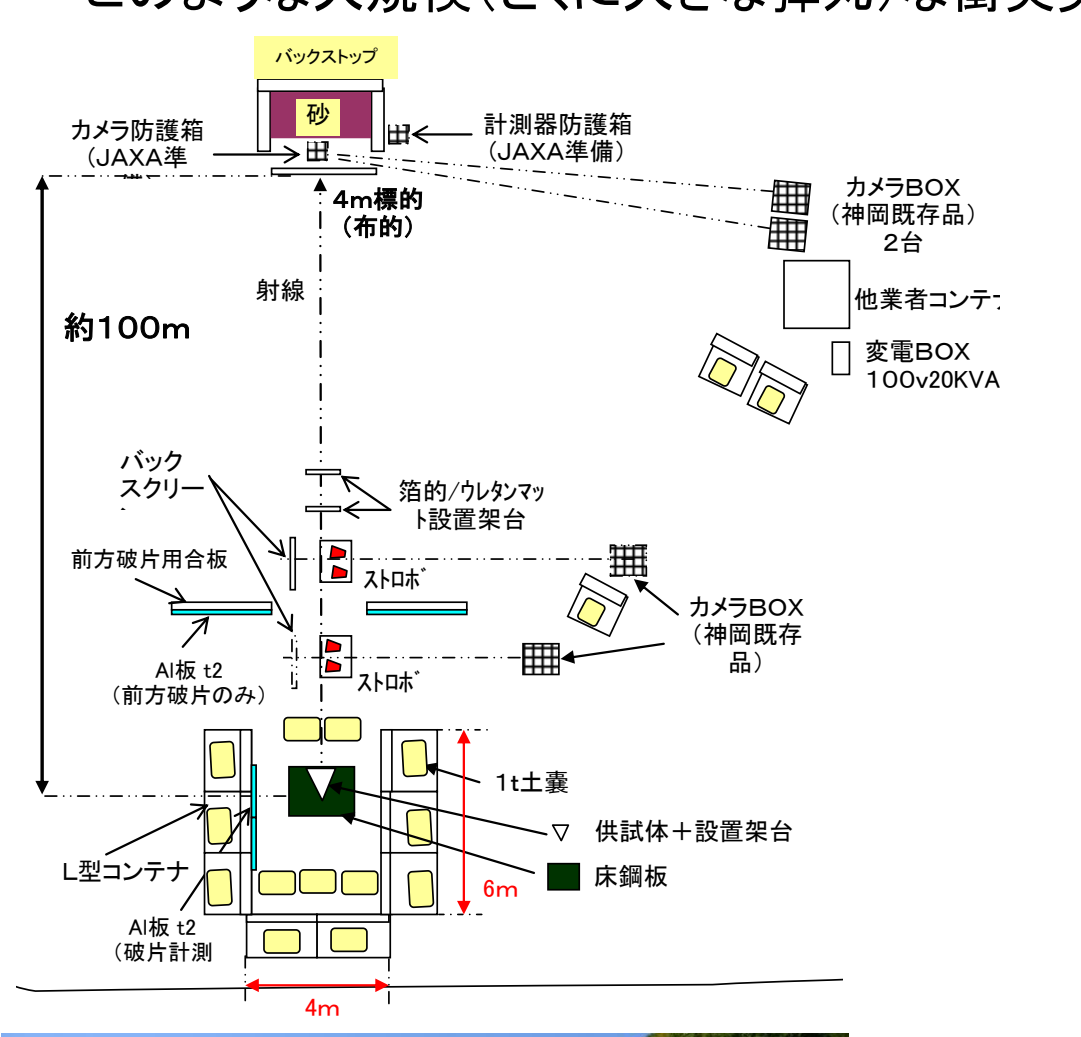






SCI実爆試験@神岡

約100m離れた斜面へ水平に打ち込む. 試験は環境試験実施品含めて5回行い, いずれも高い命中精度(0.4°以内)で衝突した. このような大規模(とくに大きな弾丸)な衝突実験はクレータ形成過程を理解し、スケーリング則を確立する上で貴重な機会である.









観測画像例

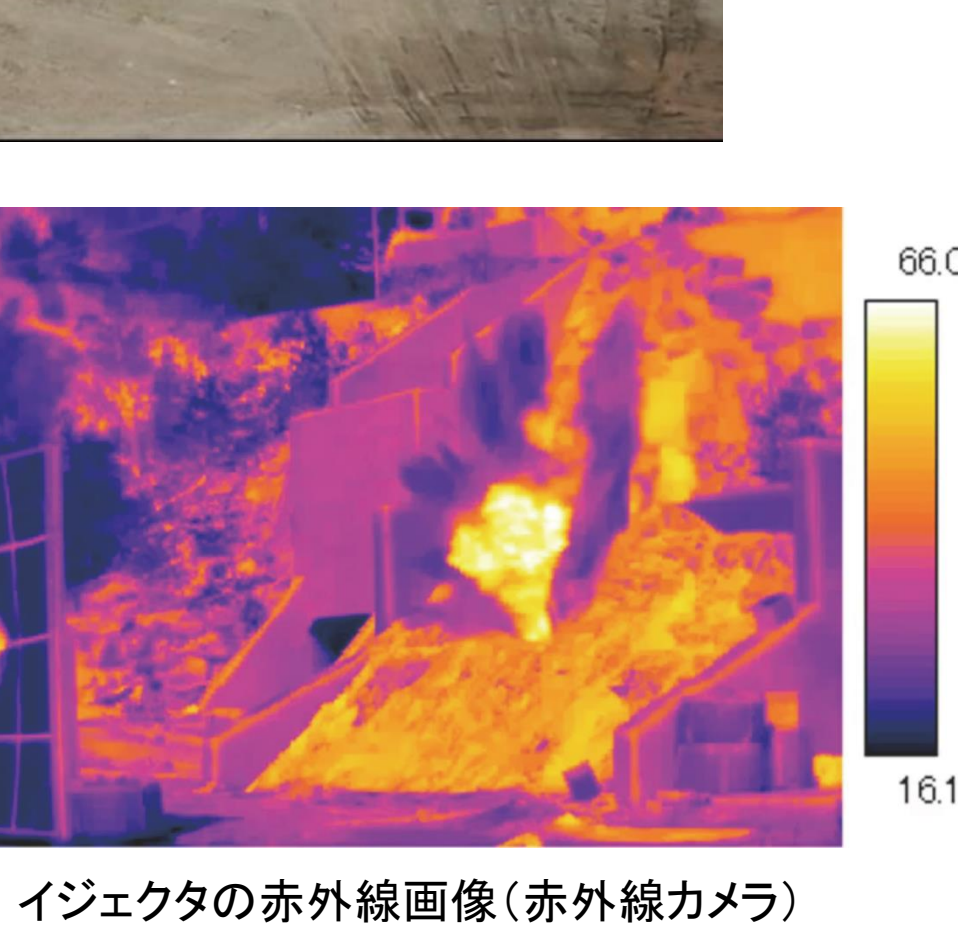


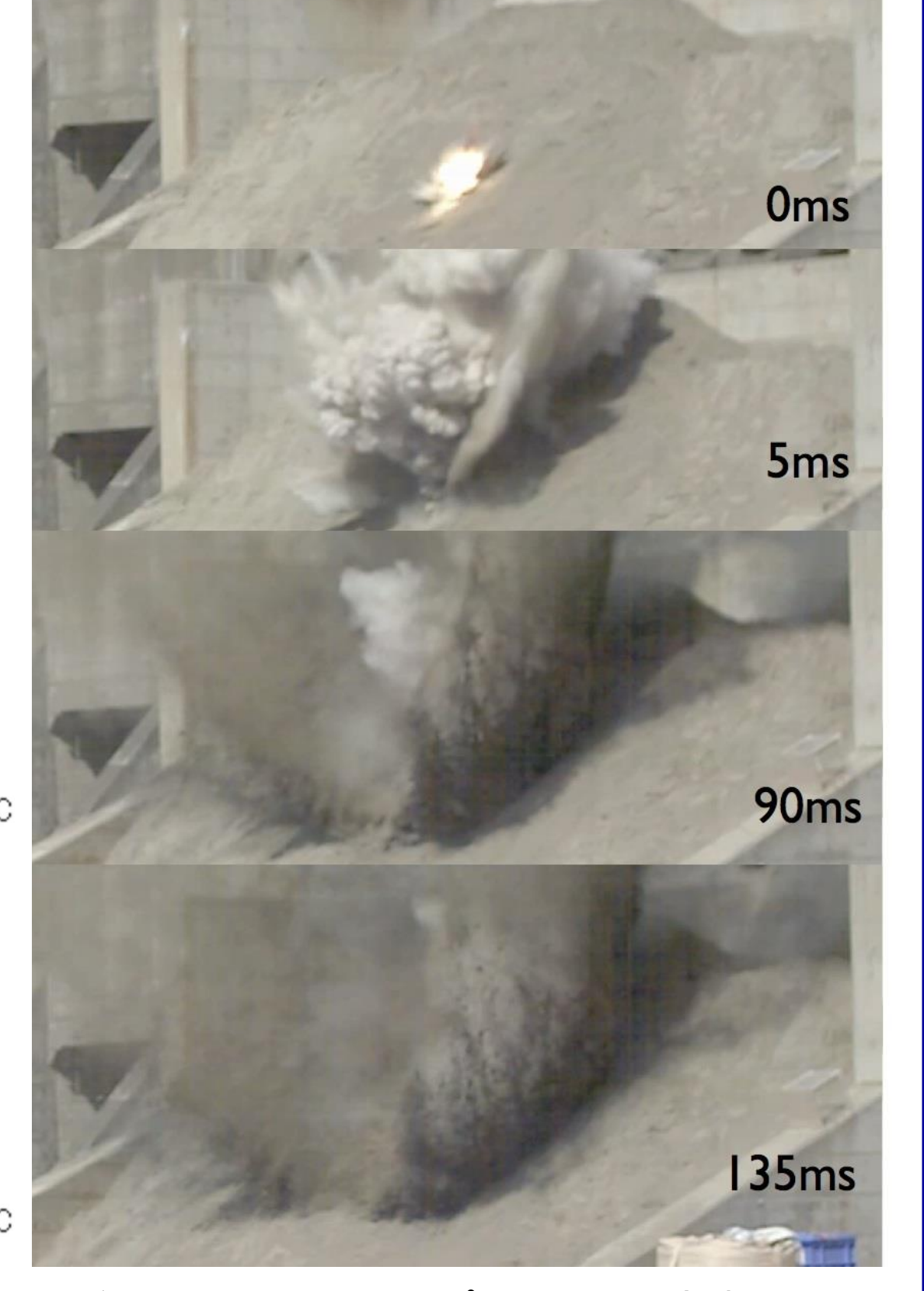


斜面直下から撮影したイジェクタカーテン



1670 34





イジェクタ放出過程スナップショット(NAC高速カメラ)

クレーター孔の計測





試験 衝突 斜面 ライナ クレータサイズ クレータ 番号 速度 傾斜 直径 [短軸×長軸m] 2014 [cm] ^b[deg] ^a[m/s] 1640 41 13.0 1.7×2.5 0.2 1620 13.3 1.6×2.0 0.17 1570 13.2 1.9×2.15 41 0.3 1550 35 12.4 0.25 1.7×1.9

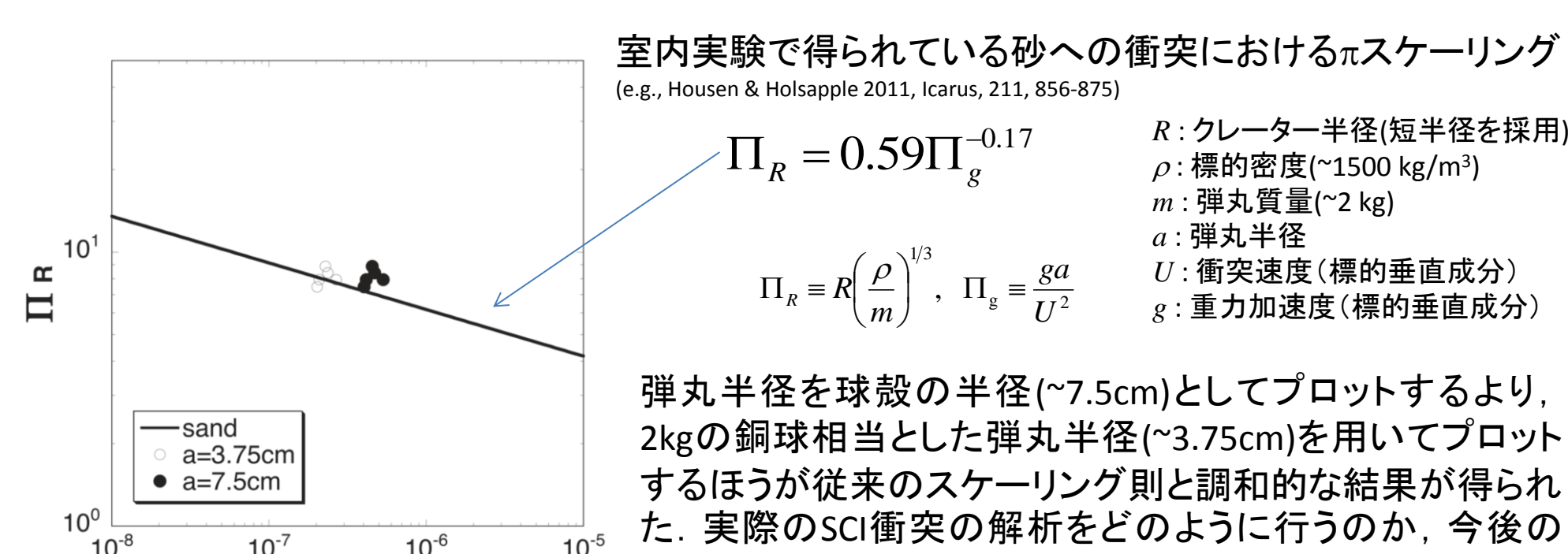
- の実測値から空気抵抗を 考慮して推定した値. b) 5地点以上をランダムに選 んで計測した平均値. 斜面
- c) フォールバックするイジェク タやクレータ壁面の崩壊に よってクレータ孔が埋めら

れた状態での値.

は試験ごとに盛り直し成形

クレーター径のスケーリング則との比較

12.7



 1.8×1.85

0.23

2kgの銅球相当とした弾丸半径(~3.75cm)を用いてプロット するほうが従来のスケーリング則と調和的な結果が得られ た. 実際のSCI衝突の解析をどのように行うのか, 今後の 検討課題である.

謝辞:日本工機株式会社および日油株式会社のみなさまには、実爆試験におけるサイエンス計測を行う上で様々なサポートをしていただ きました. 感謝いたします.

DCAM3-D光学性能検証試験

DCAM3-D分離カメラ部の構成

DCAM3-A(アナログ系) ▶「イカロス」での実績あり (DCAM1, 2)

DCAM3-D(デジタル系) ▶新規開発 ▶ サイエンス観測に必須

2013年6月から11月にかけて DCAM3-D の光学性能検証試験 を行った

設計値

DCAM3-D光学系に必要な条件

- SCIと小惑星の衝突の両方を捉えるための大きな視野角(74°)
- 画像上のSCIの位置に不定性があるため全領域(<74°)で高い結像・ 集光性能
- 暗いSCIやイジェクタをS/N>5で捉えるための明るい光学系(F<1.7)
- 上記条件をアクティブな温度制御なしで達成する
- 宇宙機であるため耐放射線性
- 限られたリソース(重量 <30 g, 光軸長 <40 mm)に納める

これらの非常に厳しい条件をクリアしなければならない

	観測波長域	450-750 nm	450-750 nm
	視野角	□74×74 deg (性能保証は○74 deg)	□74×74 deg
•	IFOV (瞬間視野角)	0.648 mrad 程度	0.612 mrad/pix(視野中心部) 0.675mrad/pix(視野端部)
	F値	<1.7	1.7
	集光系開口	<Ф30 mm	Ф21 mm
	光軸長	<40 mm	40 mm
	Ensquared Energy	2×2 pixel (□ >65%	2×2 pixel (= >79%(25°C)
	周辺光量比	O74degで>70% 対角視野端で>50%	>76% >55%
٦	歪曲	6%以下(ただしF値を優先する)	-1.5 ~ 4.7%
	重量	<30 g	26 g (レンズ+鏡筒)

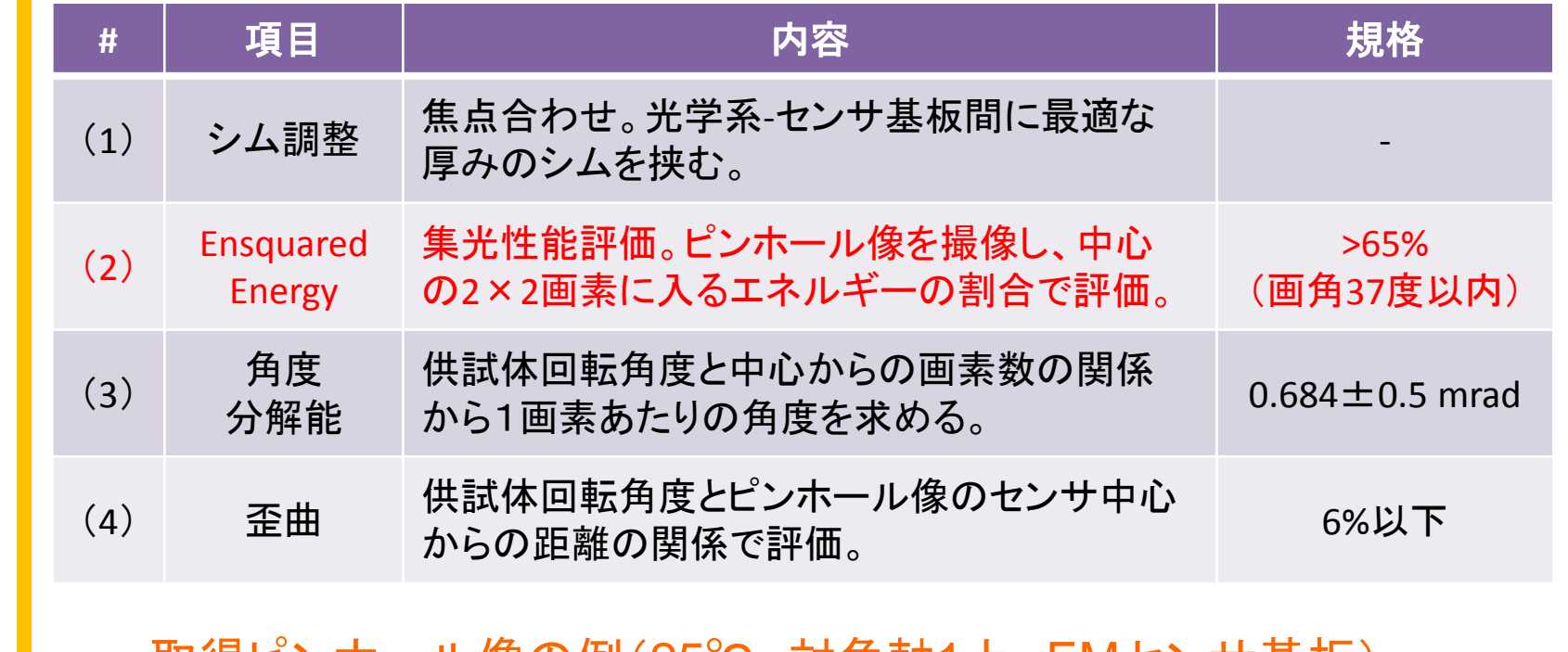
要求仕様

•圧力(torr): <1

·波長(nm): 486, 589, 656

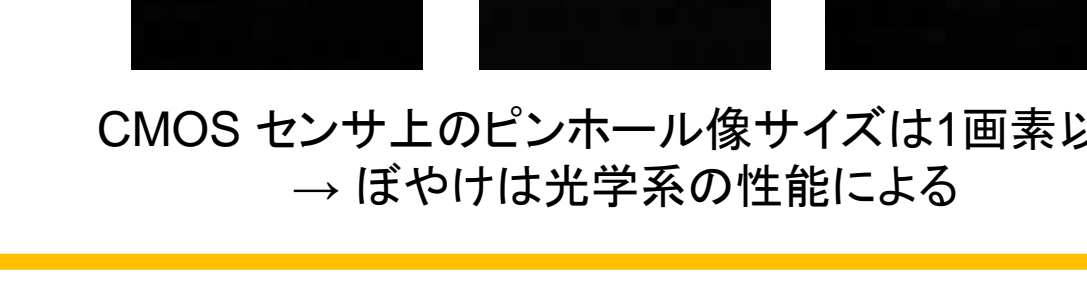
(1)コリメータ試験

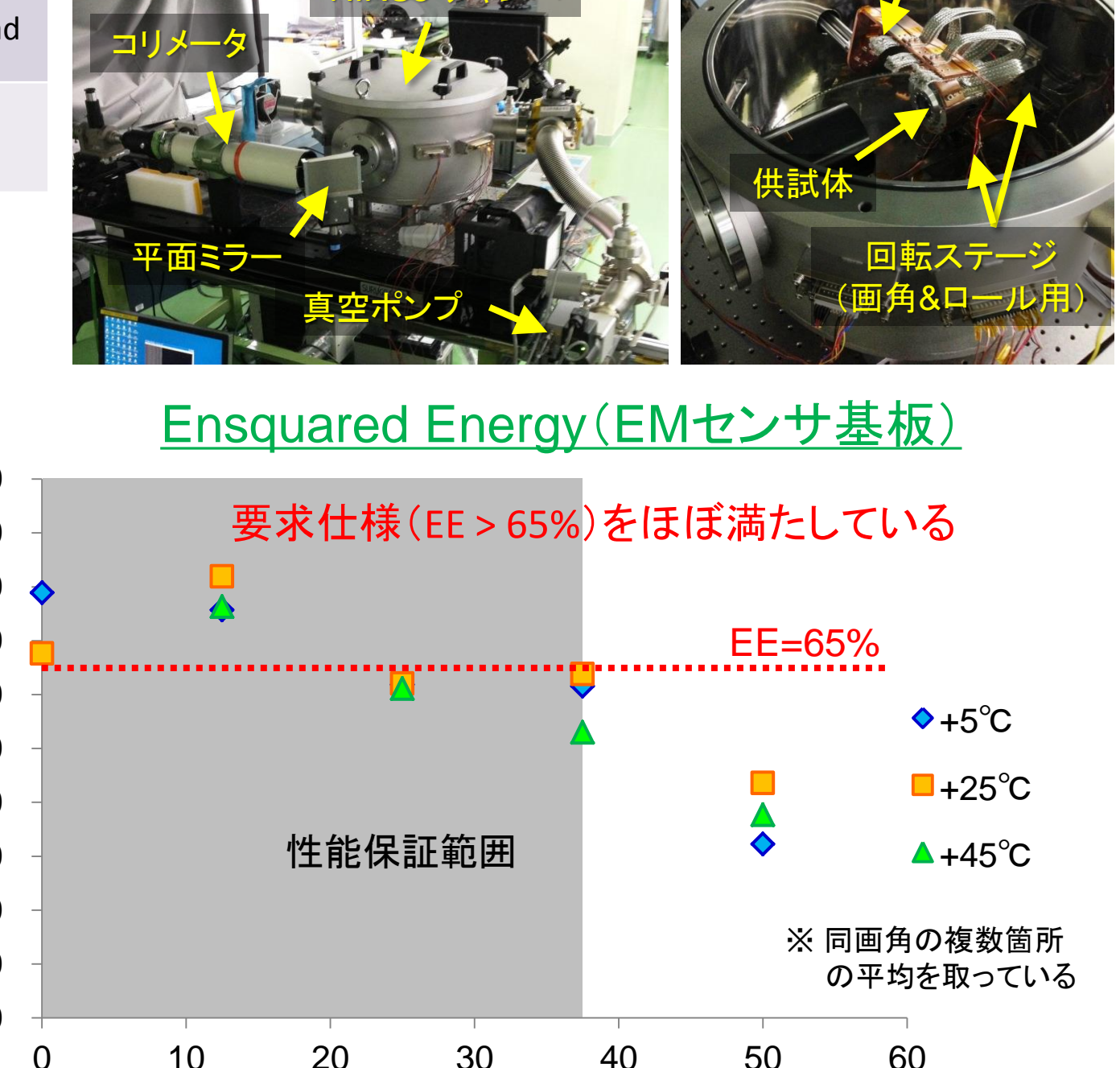
目的: ①光学系とCMOSセンサの焦点合わせ ②光学系の性能評価





画角 25° 画角 0° 画角 50° 486 nm 589 nm 656 nm CMOS センサ上のピンホール像サイズは1画素以下





・温度(°C): -25, -10, +5, +25, +45(赤文字がノミナル範囲)

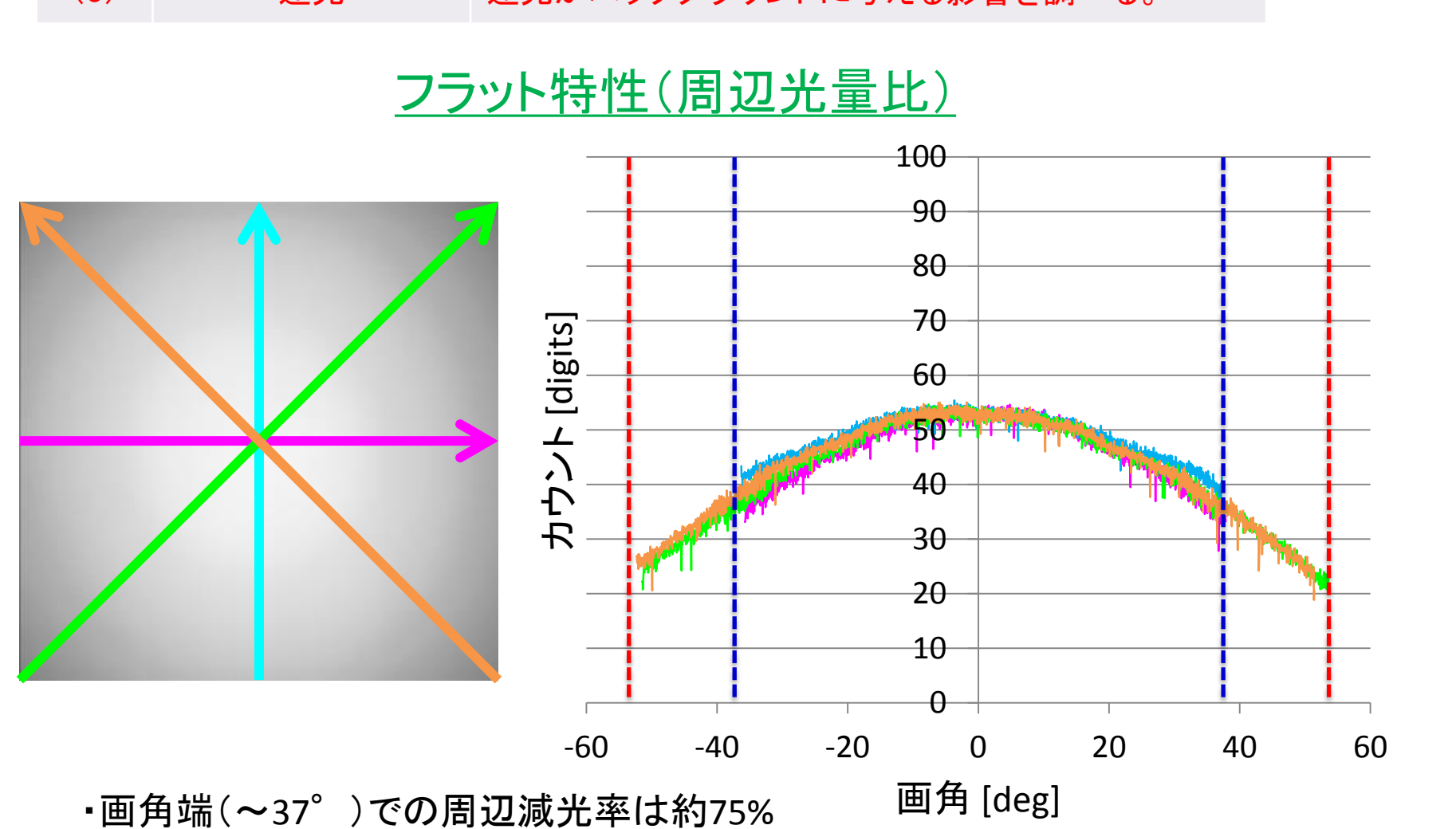
画角 [deg] FMセンサ基板ではセンサのティルト(傾き)補正も行う予定(1月中)

(2)積分球試験

目的: ①CMOSセンサの性能評価 ②光学系の性能評価 ③迷光測定

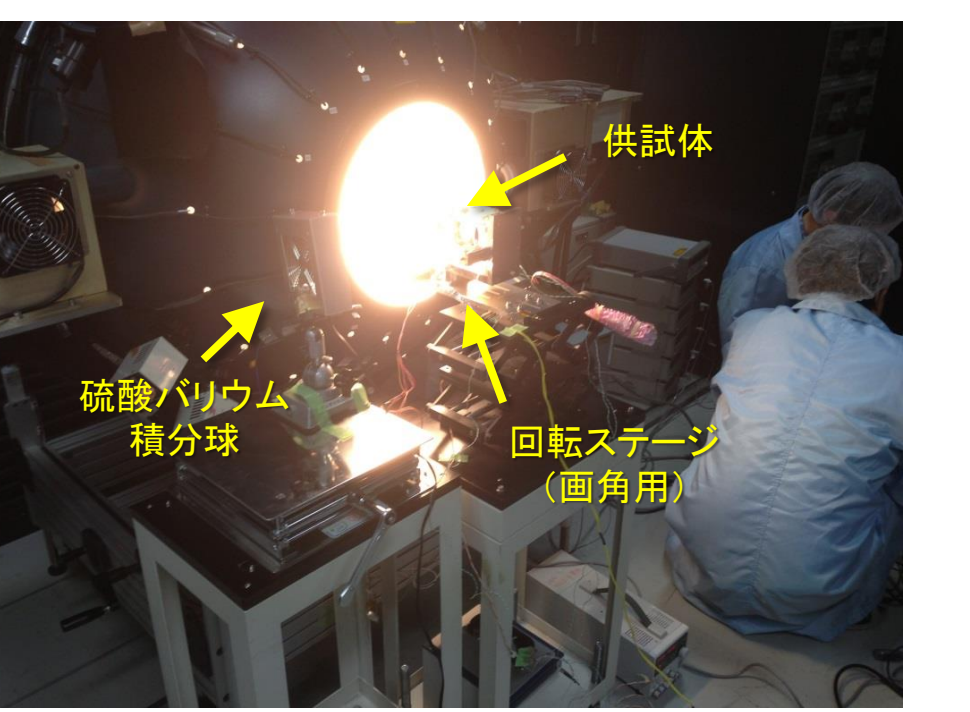
要求仕様を満たしている

#	項目	内容
(1)	フルウェル	CMOS センサのフルウェルの e ⁻ 数を求める。
(2)	リニアリティー	入力光量に対する出力の線形性を調べる。
(3)	感度特性	光学系+センサ の感度特性を調べる。
(4)	フラット特性	周辺光量比を調べる。
(5)	感度むら	局所的なむらを調べる。
(6)	迷光	迷光がバックグラウンドに与える影響を調べる。



·最大画角端(~52°)で周辺減光率は約47%





視野角が74度(対角105度)と広いため供試体を開口部に 近づけなければならない

迷光測定 視野外光入光時の取得画像

迷光による若干のむら が見られる

ただし迷光量(1pixあたり) は鏡筒総入射光量の 7000-10000分の1以下 観測に影響なし

This document is provided by jAXA.